

自由水面流れの数値計算における 内部流動の解析精度に関する考察

NUMERICAL ACCURACY FOR INTERNAL FLOWS
IN COMPUTATIONS OF FREE-SURFACE FLOWS

牛島 省¹・櫛津 家久²・吉田 圭介³・池田 大輔³

Satoru USHIJIMA, Iehisa NEZU, Keisuke YOSHIDA and Daisuke IKEDA

¹ 正会員 工博 京都大学大学院助教授 環境地球工学専攻 (〒 606-8501 京都市左京区吉田本町)

² フェロー 工博 京都大学大学院教授 環境地球工学専攻

³ 学生員 京都大学大学院 環境地球工学専攻

A computational method has been proposed for viscous incompressible flows accompanied by oscillating free surfaces. The free surface profiles are represented by curvilinear coordinates generated at every computational time step. The transformed Navier-Stokes equations are discretized on the collocated grid arrangement. The velocity-pressure correction is performed with C-HSMAC method, which is effective for free-surface flows to preserve the fluid mass during unsteady computations. The computational method was applied to small amplitude standing waves and non-linear waves occurring in rectangular tanks, in addition to the free-surface flows in a cavity. As a result, it has been shown that the predicted results are in good agreement with the theory and other computational results and that the computational method has reasonable numerical accuracy to represent free-surface behaviors.

KeyWords : free surface, ALE method, collocated grid,
BFC, QSI scheme

1. はじめに

水理構造物との干渉がある自由水面流れ等においては、内部流動が水面の挙動に影響を及ぼす場合がある。このような流れに対して、数値解析により水面形状やその変動特性を正しく把握するには、水面下の流動を正確に評価することが必要となる。本報では、碎波が生じない程度の水面変動を伴う流れ、すなわち水深が水平座標の一価関数となる自由水面流れを対象として、内部流動と水面の挙動を精度良く予測するための計算手法について考察する。

自由水面流れに対する数値計算手法としては、マーカ粒子法¹⁾、PIC 法²⁾、VOF 法³⁾、MARS 法⁴⁾などの Euler 法や、格子点の移動を考慮する Lagrange 法⁵⁾および ALE(Arbitrary Lagrangian-Eulerian) 法⁶⁾、また流体を粒子の集まりとして扱う MPS 法⁷⁾など、多くのものが提案されている。これらの手法は、適用対象に応じた得失を有するが、一般に Euler 法や MPS 法は、水面が大変形する場合や気液相間の複雑現象を扱う場合に有効である。一方、本研究で対象とする自由水面流れにおいては、水面形状の表現や境界条件の設

定が比較的正確に行え、しかも内部流動に対して高精度の解析が可能な手法が望ましいため、本報では ALE 法に基づき、移動一般座標系を用いる計算手法を扱う。

一般座標系を用いた有限差分法による流体解析では、基本変数として流速の反変成分を staggered 格子上で用いる方法と、直交座標系の流速成分を collocated 格子で用いる方法が適しているといわれる⁸⁾。collocated 格子の利用は、このような計算精度の向上だけでなく、水面の境界条件の設定においても変数配置の関係から有利である。しかし、同格子を用いた自由水面流れの計算例は少なく、その有効性については実証されていない部分が多い。このため、本研究では collocated 格子配置を用いた自由水面流れの計算法を示し、流速と圧力を同時緩和する C-HSMAC 法が流体質量を保存するために有効であることを示す。さらに、計算手法を重力および表面張力が復元力となる微小静振波および振幅の大きい非線形水面変動へ適用し、境界条件の扱いや流体質量の保存性について検討を加える。最後に、キャビティ内の自由水面流れの計算を移流項に対するスキームを変えて行い、自由水面形状の計算結果に対するスキームの精度の影響について考察を加える。

2. 数値解析手法

(1) 基礎方程式と離散化

鉛直 2 次元流れ場において x_2 軸が鉛直上方を向くように直交座標系 x_i ($i = 1, 2$) をとる。外力として重力のみを考える。基本変数として直交座標系上の変数を用いる場合、一般座標系 ξ_m ($m = 1, 2$) において離散化された Navier-Stokes 式は次のように表される。

$$\frac{u_i^{n+1} - u_i^n}{\Delta t} = -g \delta_{2i} - \frac{1}{\rho} \frac{\partial p^{n+1}}{\partial \xi_m} \frac{\partial \xi_m}{\partial x_i} + F_i \quad (1)$$

ここに、 u_i は x_i 方向の流速成分、 g は重力加速度、 δ_{ij} はクロネッカーデルタ、 ρ は流体密度、 p は圧力である。 (1) 式には Euler 陽解法が用いられており、 Δt は 1 ステップの時間刻みである。 F_i は移流項と拡散項から構成され、次式で与えられる。

$$F_i = -(U_m^n - U_{0m}^n) \frac{\partial u_i^n}{\partial \xi_m} + \frac{\partial}{\partial \xi_m} \left(\nu \frac{\partial u_i^n}{\partial \xi_n} \frac{\partial \xi_n}{\partial x_j} \right) \frac{\partial \xi_m}{\partial x_j} \quad (2)$$

ここに、 ν は動粘性係数である。ALE 法⁶⁾に基づき、各時間ステップごとに水面形状に適合する格子を生成するため、内部の格子点位置も移動する。従って、 (2) 式右辺第 1 項には流体流速の反変成分 U_m と物理空間中の格子点の移動速度の反変成分 U_{0m} が含まれる。

前報⁹⁾では、直交座標系における等間隔 collocated 格子上で QSI スキームの適用方法を示した。一般座標系では、写像空間中において、流速 u_i に対して ξ_m 方向に 5 次スプライン関数 S_{im} を求める。 S_{im} は ξ_m に関する 5 次の多項式となるが、この 1 次の項の係数 C_{im1} を用いれば、 (2) 式右辺第 1 項は次のように表される。

$$-(U_m^n - U_{0m}^n) \frac{\partial u_i^n}{\partial \xi_m} = -(U_m^n - U_{0m}^n) C_{im1} \quad (3)$$

また、連続式は、次のように表される。

$$\frac{\partial (J U_m^{n+1})}{\partial \xi_m} = 0 \quad (4)$$

ここに、 J はヤコビアンであり、次式で与えられる。

$$J = \frac{\partial x_1}{\partial \xi_1} \frac{\partial x_2}{\partial \xi_2} - \frac{\partial x_1}{\partial \xi_2} \frac{\partial x_2}{\partial \xi_1} \quad (5)$$

(2) 流速と圧力の同時緩和

Rhie & Chow¹⁰⁾により提案された collocated 格子では、セル中心に流速と圧力を配置する。そして、圧力と流速の振動解を防ぐために、さらにセル境界面で定義される流速を圧力計算に利用する。

この変数配置に従い、物理空間中においてセル中心に位置し、次式を満足する流速 $u_{c,i}$ を導入する。

$$u_{c,i}^n = u_i^n + (-g \delta_{2i} + F_i) \Delta t \quad (6)$$

一方、セル境界上に $u_{b,i}$ なる流速を定義する。この値は $u_{c,i}$ を空間内挿することにより求める。

次に、セル境界上で流速の反変成分 $U_{b,m}$ を求める。 $U_{b,m}$ により表示された連続式と、collocated 格子で用いられる $U_{b,m}$ と圧力の関係式はそれぞれ次のように表される。

$$\frac{\partial (J U_{b,m}^{n+1})}{\partial \xi_m} = 0 \quad (7)$$

$$\frac{\partial U_{b,m}}{\partial t} = -\frac{1}{\rho} g^{mj} \frac{\partial p^{n+1}}{\partial \xi_j} \quad (8)$$

ここで、 g^{mk} は基本テンソルの反変成分である。

$$g^{mk} = \frac{\partial \xi_m}{\partial x_j} \frac{\partial \xi_k}{\partial x_j} \quad (9)$$

$n+1$ ステップにおいて、 (7) 式と (8) 式を同時に満足する流速と圧力を求めるため、HSMAC 法¹¹⁾を利用する解法を考える。ここでは、一般座標系における collocated 格子上の解法となるため、この手法を C-HSMAC 法と表記することとする。 $n+1$ ステップにおける流速成分 $U_{b,m}^{n+1}$ と圧力 p^{n+1} が次のように (8) 式の時間方向の離散化式を満足するものとする。

$$U_{b,m}^{n+1} = U_{b,m}^n - \frac{\Delta t}{\rho} g^{mj} \frac{\partial p^{n+1}}{\partial \xi_j} \quad (10)$$

一方、 n ステップにおける圧力を用いた次式を考える。

$$U_{b,m}^* = U_{b,m}^n - \frac{\Delta t}{\rho} g^{mj} \frac{\partial p^n}{\partial \xi_j} \quad (11)$$

(10) 式から (11) 式の各辺を引くと次式が導かれる。

$$U'_{b,m} = -\frac{\Delta t}{\rho} g^{mj} \frac{\partial \phi}{\partial \xi_j} \quad (12)$$

ここに、

$$U'_{b,m} = U_{b,m}^{n+1} - U_{b,m}^* \quad (13)$$

$$\phi = p^{n+1} - p^n \quad (14)$$

である。 (13) 式を (7) 式に代入し、 (12) 式を用いると、 ϕ に対する次のポアソン方程式が導かれる。

$$\begin{aligned} & \frac{\partial}{\partial \xi_m} \left(J g^{mj} \frac{\partial \phi}{\partial \xi_j} \right) \\ &= \frac{\rho}{\Delta t} \frac{\partial}{\partial \xi_m} (J U_{b,m}^*) \equiv \frac{\rho}{\Delta t} D^* \end{aligned} \quad (15)$$

C-HSMAC 法は、 (12) 式、 (13) 式、 (14) 式および (15) 式を繰り返し解くことにより、連続式の誤差 D^* を十分小さくする方法である。

計算領域内の全てのセルにおいて、 $k+1$ 回目の更新値 D^{*k+1} が、与えられたしきい値 D_0^* より小さくなつ

た時点で解が収束したと見なす。このとき、 D^{*k+1} は $JU_{b,m}^{n+1}$ の連続性に対する誤差に相当する。collocated 格子を用いた既往の流体計算でしばしば用いられてきた fractional step 法や SMAC 法¹²⁾ では、定常解に到る過程において、圧力補正を行った後の $n+1$ ステップの流速成分の連続性は保証されていない。これに対して、C-HSMAC 法では $JU_{b,m}^{n+1}$ の連続性に対する誤差は D_0^* 以下に制御されていることになり、非定常問題や移動境界問題などを扱う際に有利である。

(3) 自由水面の計算法と境界条件

水深 h は、自由水面における動的境界条件から導かれる次の離散化式より求める。

$$h^{n+1} = h^n + \frac{JU_{s2}^{n+1} \Delta \xi_1}{\Delta x_1} \Delta t \quad (16)$$

ここで、 U_{s2}^{n+1} は C-HSMAC 法により求められたセル境界上の流速の反変成分 $U_{b,2}$ とする。自由水面に接するセルに対して、 $JU_{b,m}$ の連続性の誤差は D_0^* 以下に制御されているため、(16) 式から計算された h^{n+1} により、計算領域全体の流体質量は与えられた誤差の範囲内で保存される。

3. 計算手法の基本特性の検証

上記のように内部流動の解析精度を向上させた自由水面流れの数値計算法の基本的な特性を確認するため、これをベンチマーク計算および数値実験に適用する。

(1) 矩形容器内の微小静振波

計算手法を矩形容器内に生ずる振幅が微小な静振波(セイシュ)へ適用する。流体は非粘性であるとし、復元力として重力と表面張力の両方を考慮する。図-1 に示すように、矩形容器幅を l 、流体が静止した状態の水深を h とし、容器両端に腹、中央に節を持つ静振波を考える。この静振波は、初期条件として $\eta = 0.01 \cos(\pi x_1/l)$ なる水面形を与えることで発生する。なお、計算セル数は、 15×15 とした。

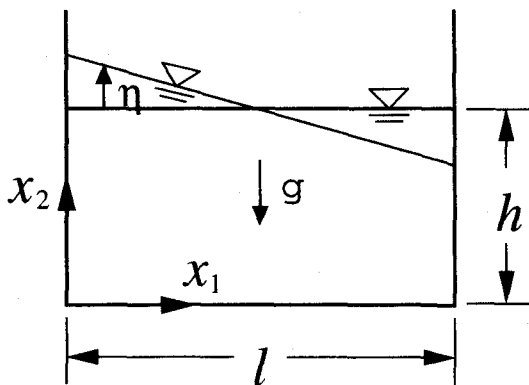


図-1 矩形容器の形状と座標系

$g = 1$ かつ $\sigma = 0$ (重力波) あるいは $g = 0$ かつ $\sigma = 1$ (表面張力波) という条件で得られた容器両端 ($x_1 = 0, l$) における η の時間的な変動を図-2 に示す。図中では、 $t = 0.0$ において $\eta = 0.01$ となる曲線が $x_1 = 0$ における水面変動に相当する。復元力が重力あるいは表面張力のいずれの場合でも、初期の水面形により生じた静振波が減衰せずに持続し、非粘性流体における理論どおりの挙動が再現されている。

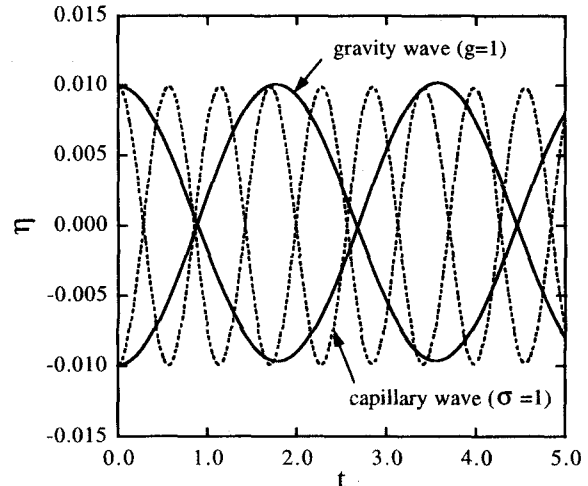


図-2 重力波および表面張力波の η の時系列

$g = 1$ かつ $\sigma = 0$ のときの周期を T_0 とするとき、微小振幅波理論から得られる表面張力を考慮した分散関係式を用いると、 T/T_0 は次式のように表される。

$$\frac{T}{T_0} = \frac{1}{\sqrt{1 + \pi^2 \alpha}} \quad (17)$$

ここに、 $\alpha = \sigma/g$ である。(17) 式と計算値を比較した結果を図-3 に示す。この結果から、重力と表面張力の両者が作用する場合の静振波の周期も適切に再現されることが示された。

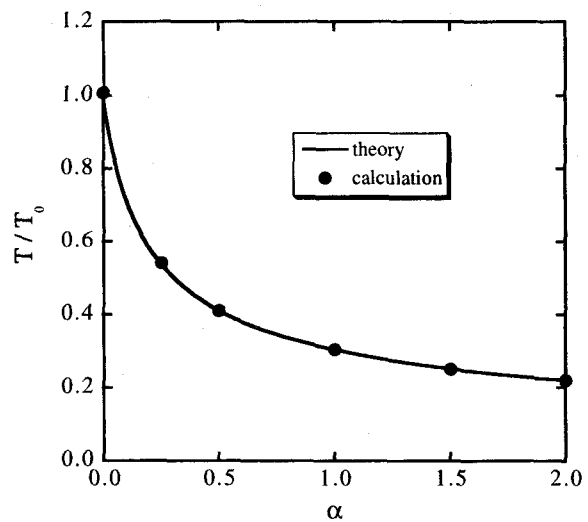


図-3 重力と表面張力が作用する静振波の周期の比較

(2) 流体质量の保存性について

2次元矩形容器内において、静止水面に圧力パルスを作用させ、非線形水面振動が生じた場合の数値計算が行われている^{1) 13) 14) 15)}。この振幅が比較的大きい非線形水面振動へ本研究の計算手法を適用し、水面変動や流体质量の保存性などについて検討を加えた。

計算領域は、図1において $l = 4.8$, $h = 4.0$ としたもので、次式の圧力パルスを静止水面に作用させる。

$$p_0(t) = \delta(t) \cos\left(\frac{\pi x_1}{l}\right) \quad (18)$$

ここに、 $\delta(t)$ はディラックのデルタ関数である。重力加速度 g と流体の密度 ρ は 1.0、動粘性係数 ν は 0.01、表面張力 σ は 0 とする。計算セル数は 15×15 とした。

図4は、約半周期にわたる容器両端 ($x_1 = 0, l$) の水面振動を Harlow & Welch¹⁶⁾ の計算結果と比較したものである。上昇する水面変位量が低下する側のそれよりも大きく、非線形な水面変動が生じている。計算結果は、既往計算の結果と概ね一致するものとなった。

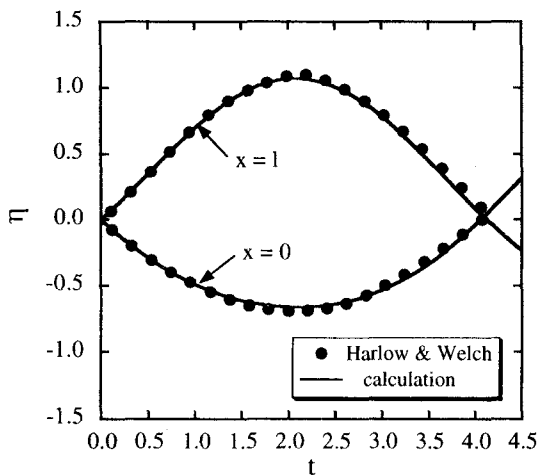


図4 非線形水面振動における η の時系列

図5および図6は、 $t = 3.0$ における境界適合座標系上の格子点分布と計算により得られた流速ベクトルの分布を示すものである。

上記の非定常計算の過程において、計算領域内の流体质量が十分高い精度で保存されることを確認するため、次式で計算される平均水深の誤差 $\Delta\eta$ を求める。

$$\Delta\eta = \frac{1}{l} \sum_{m=1}^N \Delta x_{1m} h_m - h \quad (19)$$

$\Delta\eta$ はある時刻の平均水深から初期水深を引いた値であり、 Δx_{1m} と h_m は、それぞれ計算セルの x_1 方向の長さと水深、 N は x_1 方向の計算セル数を表す。流体の流出入がないため、理論上は常に $\Delta\eta = 0$ となる。

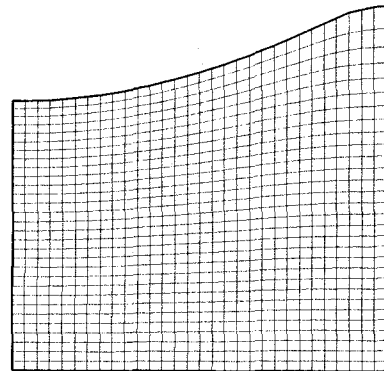


図5 $t = 3.0$ における格子点の分布

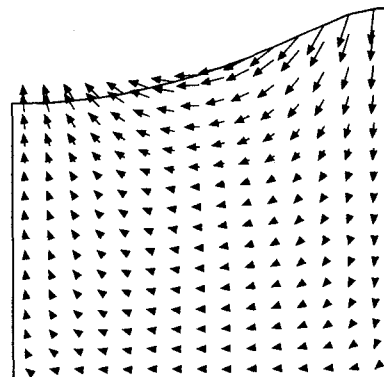


図6 $t = 3.0$ における流速ベクトル分布

図7に、圧力解法と水面位置の計算法のみを変え、他の計算方法や格子配置などは同一条件とした3種類の計算結果を示した。図中のC-HSMACとSMACは、圧力解法にC-HSMAC法およびSMAC法を行い、(16)式により水面高さを計算した結果である。これらに加えて、圧力解法にSMAC法、水面位置の計算に次式の物理空間中における水面の動的境界条件を用いた結果(図中のh-eq + SMAC)を示した。

$$\frac{\partial h}{\partial t} = u_{s2} - u_{s1} \frac{\partial h}{\partial x_1} \quad (20)$$

ここで、(20)式の右辺第2項の離散化には中央差分を利用した。なお、SMAC法では流速の発散値を用いた収束判定ができないため、圧力の収束判定値を 10^{-15} とし、C-HSMACでは $D_0^* = 10^{-15}$ とした。これらの圧力の収束計算にはSOR法を用いた。

図7に示されるように、(20)式とSMAC法を組み合わせた場合には、圧力の収束誤差が十分低いにもかかわらず、 $|\Delta\eta|$ の値は 10^{-1} のオーダーに達している。従って、この計算条件では、計算領域内の流体质量が大きく増減してしまうことになる。一方、(16)式とSMAC法を用いた場合には、誤差は低減し、 $|\Delta\eta|$ の値は最大で 10^{-4} 程度となる。(16)式とC-HSMAC法を用いた場合には、図7に示されるように、 $|\Delta\eta|$ の値は最大でも 10^{-14} のオーダーに押さえられ、流体质量の保存性が

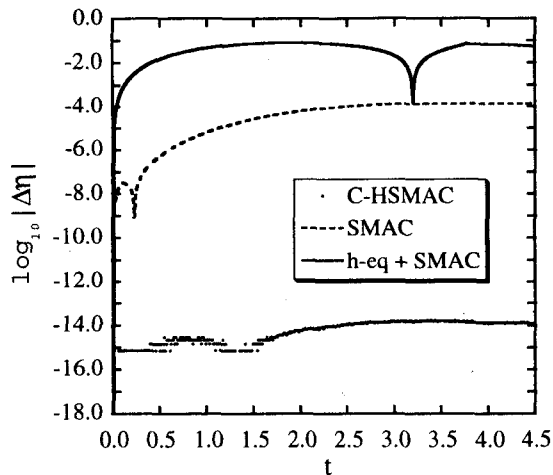


図-7 平均水深の誤差の比較

制御された自由水面流れの計算が可能となる。

(3) キャビティ内の自由水面流れ

図-8に示すような底面が移動壁となる容器内において、内部の流動とそれに伴う自由水面形状の計算を行う。両側面は流速が0であるnon-slip壁とする。底面

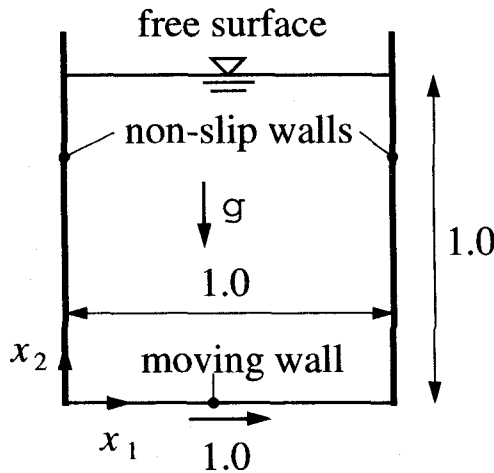


図-8 底面が移動壁となる容器内の計算条件

の移動速度は1.0、容器幅と初期水深はともに1.0とし、流体の粘性は、移動速度と初期水深に基づくReynolds数が320となるよう設定した。また、流体の密度は1.0、重力加速度は0.5とした。水面では表面張力および粘性の影響はないものとし、圧力境界条件は $p_s = p_a$ 、流速境界条件は $\partial u_{si} / \partial \xi_2 = 0$ とした。既報¹⁷⁾において、より高Re数の流れがQSIスキームを用いて 42×42 の不等間隔セルで適切に解かれているので、これと同じ計算格子を用いた。静止状態を初期値とし、非定常計算を続けて定常解を求めた。

移流項に対して風上差分とQSIスキームを用いた2種類の計算を行い、結果を比較した。解析により得られた定常状態における水平方向および鉛直方向流速成

分(それぞれ u_1 および u_2)の分布を図-9と図-10に示す。QSIスキームで得られた結果と比較すると、 u_1 に関しては、自由水面下の負の流速のピーク値が風上差分では明瞭に捕えられていない。また、 u_2 に対しては、風上差分では数値粘性が大きく作用している。

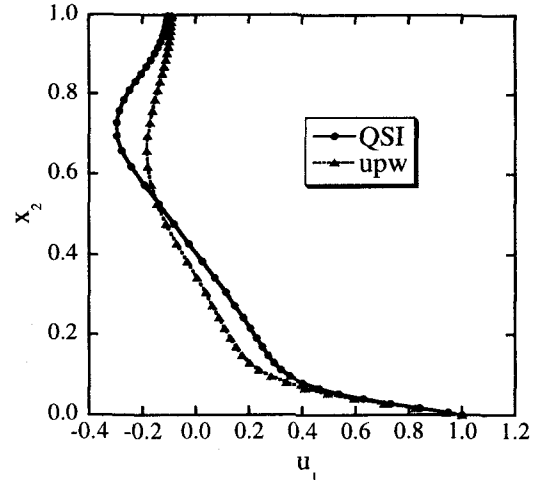


図-9 鉛直方向の u_1 の分布 ($x_1 = 0.5$)

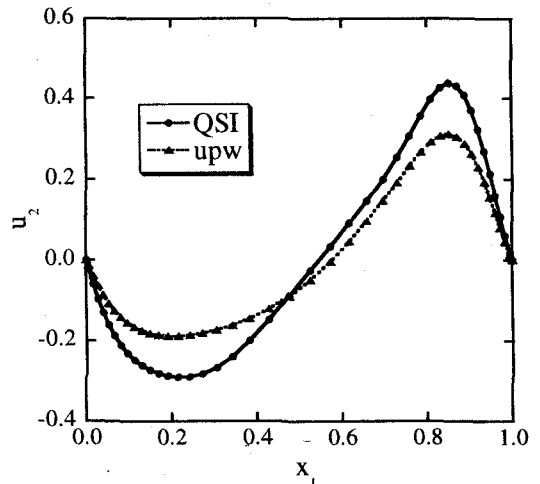


図-10 水平方向の u_2 の分布 ($x_2 \approx 0.5$)

図-11は、定常状態における水深 h の x_1 方向の分布を比較したものである。図に示されるように、移流項に対する計算スキームの違いにより水面形状が異なる結果となった。既報¹⁷⁾の正方形キャビティ流れの計算結果などを考慮すると、ここではQSIスキームを用いた計算結果がより真値に近いと考えられる。この結果から、自由水面を有するキャビティ流れのように、水面に対して内部流動の影響が大きい場合に、その形状を正確に求めるためには、単に移動境界面の取り扱い方だけでなく、基礎方程式中の移流項に対して高精度のスキームを用いる必要があることが示された。従って、一般の自由水面流れの問題を扱う場合には、ここで示したQSI法を組み込んだ流体解析法は有用な手法の一つとなると考えられる。

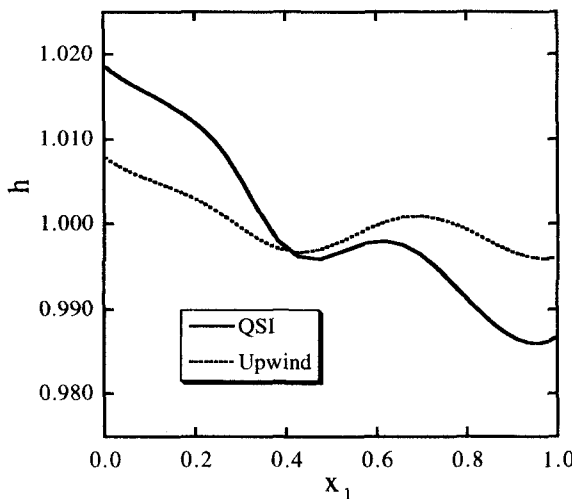


図- 11 自由水面形状の比較

4. おわりに

本研究では、自由水面流れを精度良く解析するための計算手法として、特に内部流れの解析精度に着目した考察を行った。格子系として、一般座標系上におけるcollocated格子配置を採用し、ALE法に基づき曲線座標系を再生成することで、変形する自由水面形状を扱う方法を用いた。また、移流項に5次精度相当のQSIスキームを利用するとともに、流体質量の保存性を高めるために、流速と圧力を同時緩和するC-HSMAC法と自由水面位置の計算法を示した。

この解析手法を用いて、重力および表面張力が復元力となる矩形容器内の微小静振波と圧力パルスにより生ずる非線形水面振動の計算を行った。その結果、理論解や既往の数値解析結果と一致する計算結果が得られること、また流体質量の保存性を与えられた誤差範囲内に制御できることなどの基本的な検証がなされた。次に、底面が移動壁となる容器内の自由水面流れの計算を行った。この結果から、内部流動が水面に影響を与える場合、水面形状を数値解析で精度良く求めるためには、基礎方程式中の移流項に対して高精度のスキームを用いる必要があり、QSIスキームはこの点で有用性が高いことなどが示された。

参考文献

- 1) F. H. Harlow and J. E. Welch. Numerical calculation of time-dependent viscous incompressible flow of fluid with free surface. *Phys. Fluids*, Vol. 8, No. 12, pp. 2182–2189, 1965.
- 2) F. H. Harlow. PIC and its progeny. *Comput. Phys. Commun.*, Vol. 48, pp. 1–10, 1988.
- 3) C. W. Hirt and B. D. Nichols. Volume of fluid method for the dynamics of free boundaries. *J. Comp. Phys.*, Vol. 39, pp. 201–225, 1981.
- 4) 功刀資彰. 自由表面を含む多相流の直接数値解析法. 機械学会論文集B編, Vol. 63, No. 609, pp. 1576–1584, 1997.
- 5) C. W. Hirt, J. L. Cook, and T. D. Butler. A Lagrangian method for calculating the dynamics of an incompressible fluid with free surface. *J. Comput. Phys.*, Vol. 5, pp. 103–124, 1970.
- 6) C. W. Hirt, A. A. Amsden, and J. L. Cook. An arbitrary Lagrangian-Eulerian computing method for all flow speeds. *Journal of Computational Physics*, Vol. 14, pp. 227–253, 1974.
- 7) S. Koshizuka and Y. Oka. Moving-particle semi-implicit method for fragmentation of incompressible fluid. *Nucl. Sci. Eng.*, Vol. 123, pp. 421–434, 1996.
- 8) Y. Zang, R. L. Street, and J. R. Koseff. A non-staggered grid, fractional step method for time-dependent incompressible Navier-Stokes equations in curvilinear coordinates. *J. Comp. Phys.*, Vol. 114, pp. 18–33, 1994.
- 9) 牛島省, 櫻津家久, 山上路生, 坂根由季子. 5次スプライン関数を用いた移流項の高次精度解析手法(QSI法)の提案. 水工学論文集, Vol. 45, pp. 571–576, 2001.
- 10) C. M. Rhie and W. L. Chow. Numerical study of the turbulent flow past an airfoil with trailing edge separation. *AIAA Journal*, Vol. 21, pp. 1525–1532, 1983.
- 11) C. W. Hirt and J. L. Cook. Calculating three-dimensional flows around structures and over rough terrain. *J. Comp. Phys.*, Vol. 10, pp. 324–340, 1972.
- 12) A. A. Amsden and F. H. Harlow. A simplified MAC technique for incompressible fluid flow calculations. *J. Comp. Phys.*, Vol. 6, pp. 322–325, 1970.
- 13) B. Ramaswamy. Numerical simulation of unsteady viscous free surface flow. *Journal of Computational Physics*, Vol. 90, pp. 396–430, 1990.
- 14) S. Ushijima. Three-dimensional arbitrary Lagrangian-Eulerian numerical prediction method for non-linear free surface oscillation. *International Journal for Numerical Methods in Fluids*, Vol. 26, pp. 605–623, 1998.
- 15) A. Takizawa, S. Koshizuka, and S. Kondo. Generalization of physical component boundary fitted co-ordinate (PCBFC) method for the analysis of free-surface flow. *International Journal for Numerical Methods in Fluids*, Vol. 15, pp. 1213–1237, 1992.
- 16) F. H. Harlow and J. E. Welch. Numerical study of large-amplitude free-surface motions. *Physics of Fluids*, Vol. 9, No. 5, 1966.
- 17) 牛島省, 櫻津家久, 山上路生, 坂根由季子. 局所5次スプライン内挿を利用した高次精度流体解析法. 第14回数値流体力学シンポジウム 講演論文集, CD-ROM, E07-3, 2000.

(2001. 10. 1受付)